

## (50) 羽口粉体吹込みによる高炉溶銑中 Si の低下

(粉体吹込みによる溶銑成分制御-2)

川崎製鉄㈱ 鉄鋼研究所

千葉製鉄所

○武田幹治 田口整司 浜田尚夫

高島暢宏 加藤治雄 田村栄

**1. 緒言** 高炉羽口から粉体を吹き込み溶銑中Siを低下させる試みが行われているが<sup>1)</sup>、稼働中高炉のレースウェイ領域の情報は少なく、粉体吹き込みによる溶銑中Si低下機構は明らかになっていない。最近、千葉5高炉において約1ヶ月間の粉体吹き込み実験が行なわれ、鉄鉱石、フラックスの混合粉の吹き込み時にSiが低下したことを報告している<sup>2)</sup>。粉体吹き込み実験時に、レースウェイ領域の測定を実施し、粉体吹き込みによるSi低下機構について検討したので報告する。

**2. 測定方法** 粉体吹き込みを実施している24番羽口レースウェイ領域の溶銑、滓、ダスト、ガスの採取を著者ら<sup>3)</sup>が開発した斜行羽口ゾンデを用いて行い、粉体吹き込みによる変化を測定した。

**3. 測定結果** Fig.1に示すように粉体吹き込み量と採取されたスラグ中( $\text{FeO} + \text{Fe}_2\text{O}_3$ )の間に関係がなく、レースウェイ領域のスラグ中の( $\text{FeO}$ )tは採取位置と送風量に代表されるレースウェイ領域の変化に関係している。レースウェイ近傍のダスト中 $B_2(\text{CaO}/\text{SiO}_2)$ と吹き込みCaO量の関係を示したFig.2によると、ダスト中のCaOは吹き込み粉体のCaOに由来することがわかる。ダストのX線回折によると、 $\text{CaO}$ ,  $\text{SiO}_2$ 等のスラグ成分は、ダスト中に非晶質状態で存在している。

**4. 考察** 粉体吹き込みによるSi低下の機構としては、以下のA)レースウェイ内温度低下による $\text{SiO}(g)$ 発生量の低下  
B)吹き込み粉体に由来する高 $\text{FeO}$ スラグによる炉内脱硅反応  
C)吹き込み粉体、生成スラグによる $\text{SiO}(g)$ 吸収量の増加

の三種類の反応が考えられる。反応A)は、今回酸化鉄単独ではほとんどSiが低下しなかった<sup>2)</sup>ことから主要因ではない。また、レースウェイ内には、常時高 $\text{FeO}$ スラグが存在し、しかも、Fig.1に示すように粉体吹き込みによる( $\text{FeO}$ )tの変化が小さいことから、反応B)も主なSi低下因子とは考えられない。鉄鉱石、フラックスの混合粉吹き込みによりダスト中の $B_2$ は増加し、吹き込み粉体は上述のようにスラグ化している。ダスト組成から求めた $a_{\text{SiO}_2}$ は約0.05であり、Fig.3に示した $\text{SiO}, \text{SiO}_2$ の平衡関係から、1900K以下では $\text{SiO}(g) + \text{CO} = \text{SiO}_2 + \text{C}$ の反応で吹き込み粉体による $\text{SiO}(g)$ の吸収反応が起こり得る。

**5. 結言** 混合粉の吹き込みによるSiの低下は、反応C)を低Si反応の主要因と考えることにより説明できる。

参考文献 1) 坂口ら: 鉄と鋼 71(1985) P951

2) 高島ら: 1987秋期講演大会報告予定

3) 武田ら: 鉄と鋼 72(1986) S70

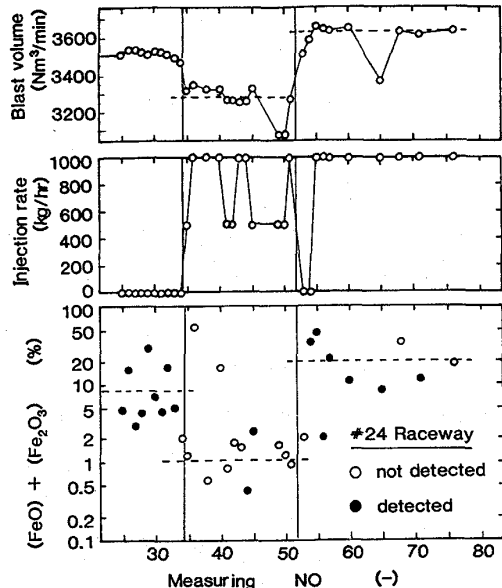


Fig.1 Change in  $(\text{FeO}) + (\text{Fe}_2\text{O}_3)$  in slag sampled in and around the raceway.

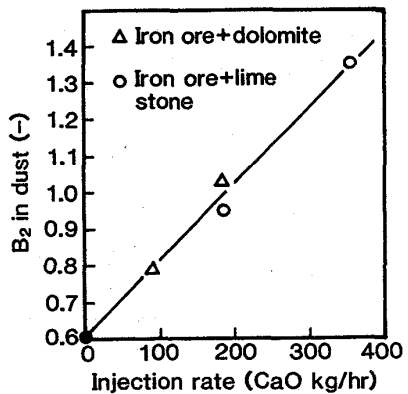


Fig.2 Change in  $B_2$  (dust) by the injection.

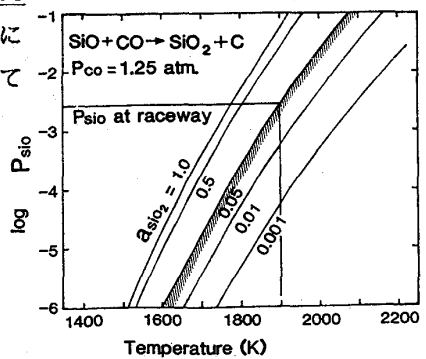


Fig.3 Equilibrium of  $\text{SiO}_2$  and  $\text{SiO}(g)$